研究报告

miR-143 通过负向调控 Bel-2 抑制食管癌细胞的增殖

胡琛琛,张 莉*

(湖北省肿瘤医院重症医学科,武汉 430079)

【摘要】 目的 探讨 miR-143 通过负向调控 B 淋巴细胞瘤-2 (Bcl-2) 抑制食管癌细胞的增殖。方法 RT-PCR 法检测食管癌细胞 TE-1、EC109、EC9706、KYSE150、KYSE510、SEG-1 及人正常食管上皮细胞 HEEC 中 miR-143 表达,使用脂质体 Lipofectamine[™] 2000 将 miR-143 mimics 和 miR-143 NC 转入 EC9706 细胞中,48 h后,RT-PCR 法检测 miR-143 表达,CCK-8 法检测细胞活力,EdU 染色检测细胞增殖情况,流式细胞术检测细胞周期,RT-PCR 及 Western blot 检测 Bcl-2 蛋白及 mRNA 的表达。结果 miR-143 在食管癌细胞 TE-1,EC109,EC9706,KYSE150,KYSE510 及 SEG-1 中的表达量[(1.36 ± 0.13),(1.08 ± 0.10),(0.89 ± 0.09),(0.95 ± 0.09),(1.32 ± 0.14),(0.96 ± 0.11)]显著低于 miR-143 在人正常食管上皮细胞 HEEC(2.38 ± 0.15)中的表达量(P < 0.01),细胞增殖能力降低(P < 0.01),细胞周期阻滞在 G1 期(P < 0.01),同时 Bcl-2 蛋白及 mRNA 表达量显著降低(P < 0.01)。结论 miR-143 过表达能通过下调 Bcl-2 表达抑制 EC9706 细胞增殖。

【关键词】 miR-143;食管癌;EC9706;增殖;B 淋巴细胞瘤-2,Bcl-2

【中图分类号】R-33 【文献标识码】A 【文章编号】1671-7856(2017) 09-0065-06

doi: 10.3969. j. issn. 1671 - 7856. 2017. 09. 012

Inhibition of proliferation of esophageal cancer cells by miR-143 through negative regulation of Bcl-2 expression

HU Chen-chen, Zhang Li*

(Department of Intensive Care Medicine, Hubei Cancer Hospital, Wuhan 430079, China)

[Abstract] Objective To investigate the effect of miR-143 on proliferation of esophageal cancer cells by negative-regulation of B-cell lymphoma-2 (Bcl-2). Methods The expression levels of miR-143 in the esophageal cancer cells TE-1, EC109, EC9706, KYSE150, KYSE510 and SEG-1 and human normal esophageal epithelial cells HEEC were detected by RT-PCR. miR-143 mimics and miR-143 NC were transfected into EC9706 cells by Lipofectamine TM 2000. After 48 h, the expression levels of miR-143 were detected by RT-PCR, the viability and proliferation of the cells were measured using CCK-8 and EdU staining, the cell cycle was analyzed by flow cytometry, and the expression of Bcl-2 protein and mRNA was detected by Western blot and RT-PCR. Results The expression levels of miR-143 in esophageal cancer cells TE-1, EC109, EC9706, KYSE150, KYSE510 and SEG-1 [(1.36 ± 0.13), (1.08 ± 0.10), (0.89 ± 0.09), (0.95 ± 0.09), (1.32 ± 0.14) and (0.96 ± 0.11)] were significantly lower than that in the human normal esophageal epithelial cells HEEC (2.38 ± 0.15) (P < 0.01). Compared with the miR-143 NC group, the expression level of miR-143 was significantly increased (P < 0.01), the cell cycle was

[[]作者简介] 胡琛琛(1979 -),女,医学硕士,研究方向:重症医学。E-mail: 1789972061@qq.com

arrested in the G1 phase (P < 0.01), and the expression of Bcl-2 protein and mRNA was significantly decreased (P < 0.01) in the miR-143 mimics group. **Conclusions** Over-expression of miR-143 can inhibit the proliferation of esophageal cancer EC9706 cells through down-regulation of Bcl-2 expression.

[Key words] miR-143; Esophageal cancer; Cell line EC9706; Proliferation; B-cell lymphoma-2, Bcl-2

食管癌是消化系统中常见的恶性肿瘤之一,我 国每年约有15万人死于食管癌,占了世界病死率将 近50%[1,2]。目前食管癌的主要治疗方式为手术、 放疗、化疗相结合,但是患者一旦确诊基本处于中 晚期,5年生存率不足20%,因此寻找有效的能够早 期诊断、治疗食管癌的生物标志物已成为食管癌等 肿瘤领域研究的热点[1,2]。miRNA 是一类高度保 守的非编码 RNA 分子,能与靶基因 mRNA 的 3'非 翻译区(untranslated region, UTR)结合,进而降解或 者抑制靶基因的转录,从而参与细胞增殖、凋亡、细 胞周期等生物学行为的调控[3,4]。现研究已经显示 miRNA的异常表达与肿瘤的发生发展密切相 关[5,6]。同时在食管癌组织及其正常组织中发现多 种差异性表达的 miRNA, miR-143 就是其中的一种, 且其在其它肿瘤中的作用机制已被深入探讨,但在 食管癌的发生发展的具体作用机制尚未见报 道[5-9]。此外肿瘤细胞呈现无限增殖与凋亡抑制, 并受凋亡相关蛋白调控,Bcl-2 就是其中的一种凋亡 抑制蛋白,且有研究显示 miR-143 能通过下调 Bcl-2 表达抑制骨肉瘤细胞、宫颈癌细胞增殖[10,11].因而 本研究推测 miR-143 是否也可以通过靶向调控 Bel-2 进而影响食管癌细胞增殖,本研究将对此推测展 开以下实验研究。

1 材料和方法

1.1 细胞株

食管癌细胞 TE-1、EC109、EC9706、KYSE150、KYSE510 及 SEG-1 购于中国科学院上海细胞库,人正常食管上皮细胞 HEEC 购于上海酶研生物科技有限公司。

1.2 主要试剂和仪器

miR-143 mimics 和 miR-143 NC 购于上海吉玛制药技术有限公司;兔抗 Bcl-2 单克隆抗体购于美国 Epitomics 公司;胎牛血清,DMEM 培养基购于美国 Gibco 公司;辣根过氧化物酶标记山羊抗兔 IgG (H+L),BCA 试剂盒,Trizol 法试剂盒,CCK-8 试剂盒,细胞周期检测试剂盒购自碧云天生物技术有限公司;Lipofectamine TM 2000 脂质体,一步法 RT-PCR 试剂盒购自大连宝生生物技术有限公司;EdU

细胞增殖试剂盒购自广州市锐博生物科技有限公司。DYCZ-425D型双垂直电泳仪,DYCZ-40D型迷你转印电泳仪购于北京六一仪器厂;GelDoc XR System 凝胶成像系统购于美国 Bio-Rad 公司;FAC-SCalibur型流式细胞仪,168-1000XC型酶标仪购于美国 BD 公司;AF6000型荧光显微镜购自德国莱卡公司。

1.3 实验方法

1.3.1 RT-PCR 法检测细胞中 miR-143 及 Bcl-2 的 表达

采用 TRIzol 法抽提细胞中总 RNA,并检测 RNA 纯度,通过一步法 RT-PCR 逆转录 RNA,扩增产物用于琼脂糖凝胶电泳。引物由上海生工生物工程有限公司合成。miR-143 上游引物:5'-ACACTCC AGCTGGGTGAGATGAAGCACTGTAG-3',下游引物:5'-CTCAACTGGTGTCGTGGA-3'; Bcl-2 上游引物:5'-CAGCTGCACCTGACGCCCTT-3',下游引物:5'-GCCTCCGTTATCCTGGATCC-3'; GAPDH上游引物:5'-AGCCACATCGCTCAGACA-3',下游引物:5'-TGGACTCCACGACGTACT-3'。

1.3.2 细胞转染

当 EC9706 细胞汇合度达到 $50\% \sim 70\%$ 左右时候,利用 LipofectamineTM 2000 脂质体转染 miR-143 mimics 和 miR-143 NC,6 h 以后换成含 10% 血清的 DMEM 培养基; 37%, CO_2 培养箱培养 48 h。应用 RT-PCR 法检测细胞中的 miR-143。

1.3.3 CCK-8 法检测 EC9706 细胞活力

将 5×10^4 个细胞接种于 96 孔板,分别于24 h、48 h、72 h、96 h 加入 CCK-8 试剂,继续培养 4 h 后,于酶标仪中检测 OD 值,波长设置为 570 nm,所测 OD 值即细胞活力。

1.3.4 EdU 染色检测细胞增殖

将 5 × 10⁴ 个细胞接种于 96 孔板,48 h 后,消化 收集细胞,加入含有 EdU 的培养基孵育 2 h,PBS 洗涤后,4% 多聚甲醛固定 30 min 后,按试剂盒说明书 要求分别加入试剂 B、C、D、E 进行孵育,接着 PBS 洗涤,最后用 Hoechst33342 染色液室温孵育 30 min,后 PBS 洗涤,并于荧光显微镜下进行观察拍照,最后用 Image J 进行统计分析。

1.3.5 流式细胞术检测细胞周期

将1×10⁵个细胞接种于6孔板,48 h后,消化 收集细胞,接着根据细胞周期检测试剂盒说明书对 细胞进行固定,染色并于1 h 内在流式细胞仪中进 行检测。

1.3.6 Western blot 检测细胞中 Bcl-2 蛋白表达

将1×10⁵个细胞接种于6孔板,48 h后,收集细胞,并加入适量的细胞裂解液,裂解30 min,离心收集上清液,即收获总蛋白。接着采用BCA试剂盒测定蛋白浓度,蛋白经煮沸变性后上样,进行十二烷基苯磺酸钠凝胶电泳,后湿法转膜30 min。5%脱脂奶粉室温封闭1 h,一抗溶液(兔 Bcl-2 单克隆抗体,稀释度为1:100)4℃过夜孵育,次日室温二抗溶液[辣根过氧化物酶标记山羊抗兔 IgG (H+L)]孵育1~2 h,在凝胶成像系统中曝光,最后采用"Quantity One"软件分析各个抗体条带的灰度值。

1.3.7 荧光素酶报告基因表达分析

miR-143 及 Bcl-2 重组载体共转染到 EC9706 细胞中。分组如下:(miR-143 mimics) + (pMIR Bcl-2 3' UTR-Wt),(miR-143 NC) + (pMIR Bcl-2 3' UTR-Mut),(miR-143 mimics) + (pMIR Bcl-2 3' UTR-Mut),(miR-143 NC) + (pMIR Bcl-2 3' UTR-Mut)。应用双荧光素酶检测系统检测转染好的荧光素酶活性,计算公式:相对荧光值=萤火虫荧光素酶荧光值/海肾荧光素酶荧光值。每个实验组三个平行复孔。

1.4 统计学方法

所有数据均用 SPSS 17.0 统计分析,用平均数 \pm 标准差($\bar{x} \pm s$)表示,经 t 检验差异显著性,以 P < 0.05 表示差异有显著性。

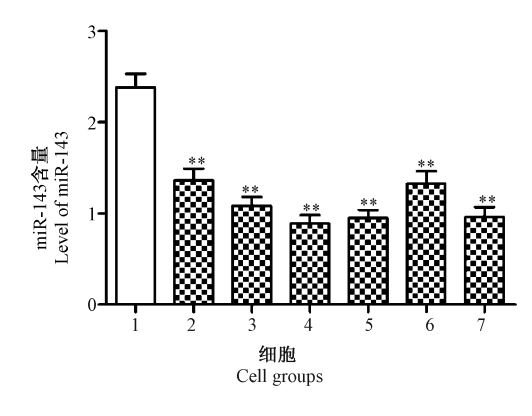
2 结果

2.1 miR-143 在食管癌及正常食管上皮细胞中的 表达

如图 1 所示, miR-143 在食管癌细胞 TE-1、EC109、EC9706、KYSE150、KYSE510 及 SEG-1 中的表达量 [(1.36 ± 0.13) , (1.08 ± 0.10) , (0.89 ± 0.09) , (0.95 ± 0.09) , (1.32 ± 0.14) , (0.96 ± 0.11)] 显著低于 miR-143 在人正常食管上皮细胞 HEEC(2.38 ± 0.15) 中的表达量, 且差异有显著性 (P < 0.01)。

2.2 miR-143 mimics 转染效果的检测

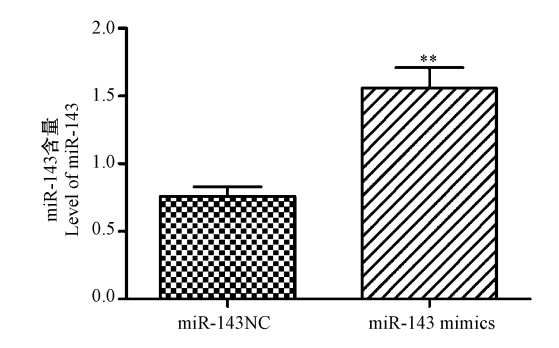
如图 2 所示,与 miR-143 NC 组(0.76 ± 0.07)



注: 1. HEEC; 2. TE-1; 3. EC109; 4. EC9706; 5. KYSE150; 6. KYSE510; 7. SEG-1。与 HEEC 比较,**P < 0.01。

图 1 miR-143 在食管癌细胞及正常食管上皮细胞中的表达 Note. 1. HEEC; 2. TE-1; 3. EC109; 4. EC9706; 5. KYSE150; 6. KYSE510; 7. SEG-1. Compared with HEEC, **P < 0.01.

Fig. 1 Expression levels of miR-143 in the esophageal cancer cells and normal esophageal epithelial cells



注:与 miR-143 NC 组比较,**P < 0.01。

图 2 miR-143 mimics 转染效果的检测

Note. Compared with the miR-143 NC group, $^{**}P <$ 0.01.

Fig. 2 Efficiency of transfection of miR-143 mimics

比较, miR-143 mimics 组(1.56 ± 0.15) 中 miR-143 表达量显著上调, 差异有显著性(*P* < 0.01)。

2.3 miR-143 mimics 对 EC9706 细胞活力的影响

如图 3 所示,随着转染时间的延长,与 miR-143 NC 组比较, miR-143 mimics 组细胞活力均显著降低,差异有显著性(P < 0.01)。

2.4 miR-143 mimics 对 EC9706 细胞增殖的影响

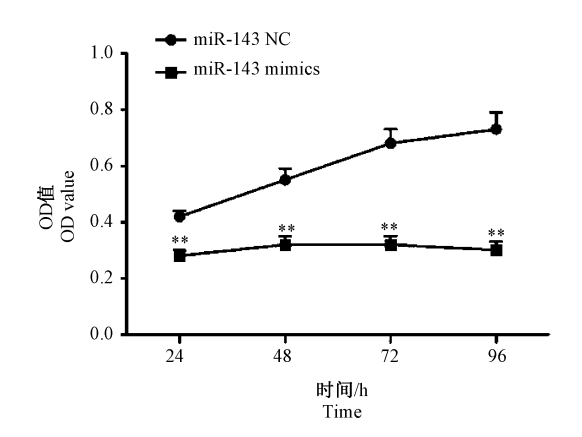
如图 4 所示,与 miR-143 NC 组 (128.58 ± 12.51)比较,miR-143 mimics 组 (21.74 ± 0.22)细胞增殖数目显著降低,差异有显著性 (P < 0.01)。

2.5 miR-143 mimics 对 EC9706 细胞周期的影响 如图 5、表 1 所示,与 miR-143 NC 组比较,miR-

143 mimics 组细胞周期阻滞在 G1 期(P < 0.01)。

2.6 报告基因分析

将 miR-143 mimics、miR-143 NC 及野生型载体



注:与 miR-143 NC 组比较, ** P < 0.01。

图 3 miR-143 mimics 对 EC9706 细胞活力的影响 Note. Compared with the miR-143 NC group, ** P < 0.01.

Fig. 3 Effect of miR-143 mimics on the viability of EC9706 cells

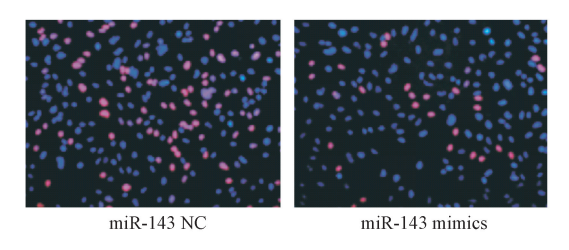


图 4 miR-143 mimics 对 EC9706 细胞增殖的影响(×200)

Fig. 4 Effect of miR-143 mimics on the proliferation of EC9706 cells

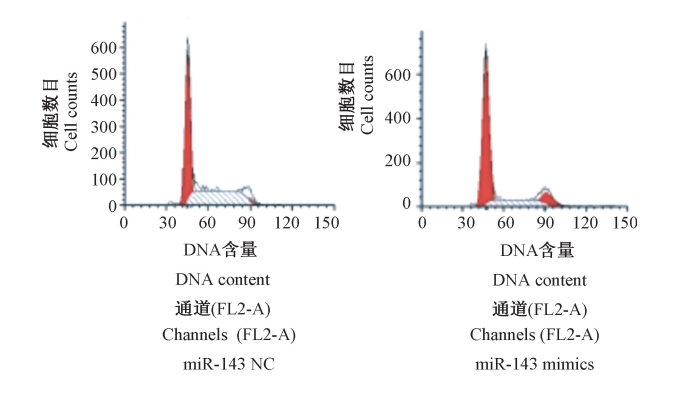


图 5 miR-143 mimics 对 EC9706 细胞周期的影响 Fig. 5 Effect of miR-143 mimics on the cell cycle of EC9706 cells

pMIR Bcl-2 3' UTR-Wt、突变型载体 pMIR Bcl-2 3' UTR-Mut 转入 EC9706 细胞中,结果发现,miR-143 mimics 与野生型载体 pMIR Bcl-2 3' UTR-Wt 共转染组的荧光信号强度明显弱于其它转染组(P < 0.01)。而对于突变型载体 pMIR Bcl-2 3' UTR-Mut

来说,各组间荧光强度差异无显著性(P > 0.05), 见图 6。

表 1 miR-143 mimics 对 EC9706 细胞周期的影响(x̄ ± s)

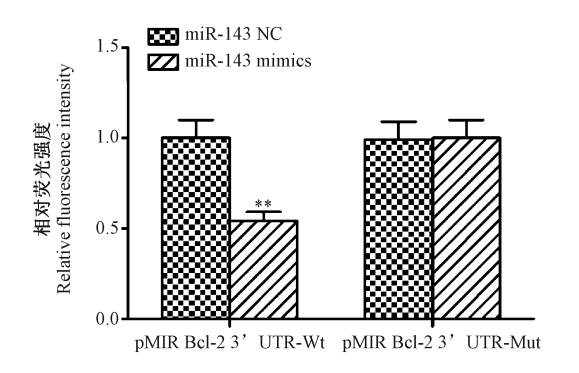
Tab. 1 Effect of miR-143 mimics on the cell

cycle of EC9706 cells

组别 Groups	G1 期 G1 phase	S 期 S phase	G2 期 G2 phase
miR-143 NC	52. 38 ± 5. 25	16. 74 ± 1. 72	30. 88 ± 1. 72
miR-143 mimics	64. 57 ± 6. 21 **	12. 46 ± 1. 25 **	22. 97 ± 2. 60 **

注:与 miR-143 NC 组比较, **P < 0.01。

Note. Compared with the miR-143 NC group, **P < 0.01.



注:与pMIR Bcl-2 3'UTR-Wt 比较,**P < 0.01。

图 6 报告基因分析

Note. Compared with pMIR Bcl-2 3 'UTR-Wt, **P < 0.01.

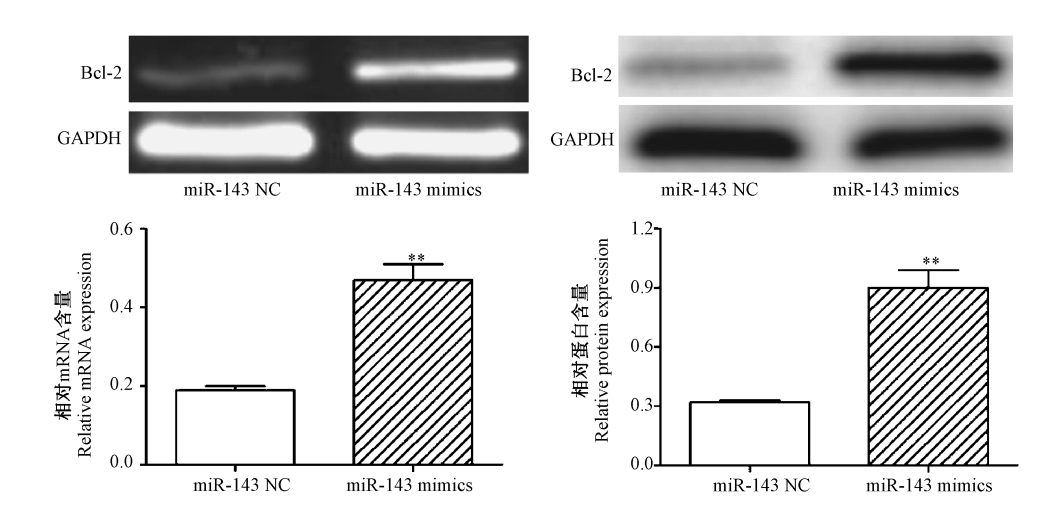
Fig. 6 Analysis of the reporter genes

2.7 miR-143 mimics 对 EC9706 细胞中 Bcl-2 蛋白及 mRNA 表达的影响

如图 7 所示,与 miR-143 NC 组比较, miR-143 mimics 组 Bcl-2 蛋白及 mRNA 表达量下调(P < 0.01)。

3 讨论

1993 年 Ambros 等学者在秀丽隐杆线虫中第一次发现了 miRNA,即 lin-4,随后又有学者于 2000 年在秀丽隐杆线虫中发现了第二个 miRNA,即 let-7。往后的二十几年间学者陆续于脊椎动物、植物及病毒中发现了上千种的 miRNA,在这期间有学者于 2002 年发现了 miRNA 与肿瘤的关系,在慢性淋巴细胞白血病中存在着 miR-15 与 miR-16 的表达量下调或者缺失,并且这两个 miRNA 还与白血病的发生发展密切相关,引起了研究者深厚的兴趣,并进一步的深入研究 miRNA 在肿瘤中的作用机制^[3,4]。miRNA 在食管癌组织及正常组织中存在着差异性表达,miR-143 就是其中的一种。miR-143 位于人类染色体 5q32,最早被发现于鼠类,具有显著的组织



注:与 miR-143 NC 组比较,**P < 0.01。

图 7 miR-143 mimics 对 EC9706 细胞中 Bcl-2 蛋白及 mRNA 表达量的影响 Note. Compared with the miR-143 NC group, **P < 0.01.

Fig. 7 Effect of miR-143 mimics on the expression of Bcl-2 protein and mRNA in EC9706 cells

特异性。Wu 等^[7]利用 miRNA 微阵列分析方法发现了 miR-143 在食管癌组织及正常组织中存在差异性表达,进一步用 RT-PCR 也证实了 miR-143 在食管鳞状细胞癌患者中的表达量是下调的,且将稳定表达 miR-143 的质粒转染到食管癌细胞后,发现细胞迁移能力显著的降低。后续 Liu 等^[12],Ni 等^[13]也都证实了 miR-143 在食管癌中的低表达。同时 miR-143 在其他肿瘤中的具体作用机制已深入报道,在食管癌中的具体作用还尚未可知^[8,9],因此本研究将对此展开讨论。

本研究首先利用 RT-PCR 法检测了 6 株食管癌 细胞中(TE-1, EC109, EC9706, KYSE150, KYSE510 及 SEG-1) 及 1 株人正常食管上皮细胞 HEEC 中 miR-143 的表达,结果表明 miR-143 在组织标本中 的表达趋势一致,食管癌细胞中的 miR-143 表达量 也显著低于正常食管细胞。接着利用脂质体转染 miR-143 NC 和 miR-143 mimics, 转染效果通过 RT-PCR 验证,结果也表明转染成功。进一步的利用 CCK-8 及 EdU 染色检测 miR-143 mimics 对 EC9706 食管癌细胞活力及增强情况的影响,结果表明 miR-143 mimics 能显著的降低 EC9706 细胞活力,并抑制 细胞增殖能力,与 miR-143 在结直肠癌细胞中的作 用效果一致^[8,9]。说明提高 EC9706 细胞中miR-143 表达量能显著的抑制细胞的增殖能力。另外肿瘤 细胞的无限增殖源自于细胞周期的不可控制,细胞 周期关键调控点包括 G1,S 及 G2 期,且这 3 个调控 点是众多肿瘤药物作用于肿瘤细胞的靶点之一^[14,15]。因此本研究进一步探讨 miR-143 mimics 对 EC9706 细胞周期的影响,结果表明 miR-143 mimics 能显著延长 G1 期,使细胞周期阻滞在 G1 期,抑制细胞的复制与增殖,与 miR-143 在肝癌细胞中作用效果一致^[16]。从而说明 miR-143 mimics 能通过阻滞 EC9706 细胞周期于 G1 期,从而抑制细胞的增殖与活力。

肿瘤细胞的无限增殖与凋亡抑制受到细胞凋 亡蛋白的调控作用,其中 Bcl-2 家族是最常见的细 胞凋亡调控家族。Bel-2 是研究最为广泛的凋亡抑 制蛋白,是第一个在淋巴细胞中被发现的能抑制细 胞凋亡的蛋白,能与促凋亡蛋白 Bax 形成异二聚体, 进而调控细胞的增殖与凋亡。而 miRNA 对于细胞 生物学行为的调控作用,主要是通过对其下游靶基 因的调控作用实现的[17],且已有研究表明 miR-143 能通过下调 Bcl-2 表达抑制骨肉瘤细胞、宫颈癌细 胞增殖[10,11],但是否能够此作用机制抑制食管癌细 胞的增殖还尚不可知。所以本研究首先利用荧光 素酶报告基因检测了 miR-143 mimics 对野生型 Bcl-2载体及突变型 Bcl-2 载体荧光信号的影响,结 果证实只有野生型 Bcl-2 载体的信号减弱,说明 miR-143 mimics 能够结合于 Bel-2 的 3' UTR 区域, 进而抑制其表达。接着利用 Western blot 及 RT-PCR 进一步证实了 miR-143 mimics 能通过下调 Bcl-2 蛋 白及 mRNA 表达,从而说明 miR-143 mimics 通过负 向调控 Bel-2 表达,进而使 EC9706 细胞周期阻滞于 G1 期,并抑制细胞增殖与活力。

综上所述, miR-143 在 TE-1, EC109, EC9706, KYSE150, KYSE510 及 SEG-1 细胞中的表达量显著低于其在 HEEC 细胞中的表达量, 因此上调 EC9706细胞中 miR-143 表达量能显著降低 Bel-2 表达, 进而抑制细胞活力及增殖能力, 并使细胞周期阻滞在G1期。

参考文献:

- [1] 叶韬, 孙苏平. 食管癌术后放射治疗的研究进展 [J]. 癌症进展, 2012, 10(6): 576-579.
- [2] 李定安,彭开桂.食管癌术前同步放化疗的临床研究进展 [J].中华全科医学,2014,12(9):1466-1468.
- [3] Gambari R, Brognara E, Spandidos DA, et al. Targeting oncomiRNAs and mimicking tumor suppressor miRNAs: New trends in the development of miRNA therapeutic strategies in oncology (Review) [J]. Int J Oncol, 2016, 49(1): 5-32.
- [4] 许文剑, 苏秀兰, 刘明. miRNA 与肿瘤关系的研究进展 [J]. 医学综述, 2013, 19(17): 3120 3123.
- [5] 蔡晓波,李庆,郭俊明,等. MicroRNA 与食管癌的研究进展 [J]. 中国细胞生物学学报, 2013, 35(9): 1405 1411.
- [6] Sharma P, Sharma R. miRNA-mRNA crosstalk in esophageal cancer; from diagnosis to therapy [J]. Crit Rev Oncol Hemat, 2015, 96(3): 449 – 462.
- [7] Wu BL, Xu LY, Du ZP, et al. miRNA profile in esophageal squamous cell carcinoma; downregulation of miR-143 and miR-145 [J]. World J Gastroenterol, 2011, 17(1); 79 – 88.
- [8] Yang F, Xie YQ, Tang SQ, et al. miR-143 regulates proliferation and apoptosis of colorectal cancer cells and exhibits altered expression in colorectal cancer tissue [J]. Int J Clin Exp Med, 2015, 8(9): 15308-15312.

- [9] Su J, Liang H, Yao W, et al. miR-143 and miR-145 regulate IGF1R to suppress cell proliferation in colorectal cancer [J]. PLoS One, 2014, 9(12): e114420.
- [10] Li WH, Wu HJ, Li YX, et al. MicroRNA-143 promotes apoptosis of osteosarcoma cells by caspase-3 activation via targeting Bcl-2 [J]. Biomed Pharmacother, 2016, 80; 8-15.
- [11] Liu L, Yu X, Guo X, et al. miR-143 is downregulated in cervical cancer and promotes apoptosis and inhibits tumor formation by targeting Bcl-2 [J]. Mol Med Rep, 2012, 5(3): 753 760.
- [12] Liu R, Liao J, Yang M, et al. The cluster of miR-143 and miR-145 affects the risk for esophageal squamous cell carcinoma through co-regulating fascin homolog 1 [J]. PLoS One, 2012, 7 (3): e33987.
- [13] Ni Y, Meng L, Wang L, et al. MicroRNA-143 functions as a tumor suppressor in human esophageal squamous cell carcinoma [J]. Gene, 2013, 517(2): 197-204.
- [14] Sommariva S, Tarricone R, Lazzeri M, et al. Prognostic value of the cell cycle progression score in patients with prostate cancer; a systematic review and meta-analysis [J]. Eur Urol, 2016, 69 (1): 107-115.
- [15] Vermeulen K, Van Bockstaele DR, Berneman ZN. The cell cycle: a review of regulation, deregulation and therapeutic targets in cancer [J]. Cell Prolif, 2003, 36(3): 131-149.
- [16] Liu X, Gong J, Xu B. miR-143 down-regulates TLR2 expression in hepatoma cells and inhibits hepatoma cell proliferation and invasion [J]. Int J Clin Exp Pathol, 2015, 8 (10): 12738 - 12747.
- [17] 龚勇,谢海龙.肿瘤中 miRNA 异常表达的分子调控机制及研究进展 [J]. 临床与实验病理学杂志,2014,30(10): 1152-1155.

[收稿日期]2016-12-19